



Hochschule für Technik und  
Wirtschaft Dresden  
University of Applied Sciences

## **Belegarbeit**

# **Equipmentmonitoring mit AAS und EDC**

vorgelegt von: Josia Rudolph

Studiengebiet: Informatik/Mathematik

Ort: Dresden

Matrikelnummer: s88598

Erstgutachter: Prof. Dr. Reichelt

Zweitgutachter: Stefan Vogt, Paul Patolla

---

# Inhaltsverzeichnis

<b>Abkürzungsverzeichnis</b> .....	<b>III</b>
<b>Abbildungsverzeichnis</b> .....	<b>IV</b>
<b>Tabellenverzeichnis</b> .....	<b>V</b>
<b>1 Einleitung</b> .....	<b>1</b>
1.1 Motivation .....	1
1.2 Aufgabenstellung .....	2
1.2.1 Allgemein .....	2
1.2.2 SomerSemester 2025 .....	2
1.3 Aufbau der Arbeit .....	3
<b>2 Grundlagen</b> .....	<b>5</b>
2.1 Halbleiterfertigung: Die Subfab und ihre Prozesse .....	5
2.2 Industrie 4.0 und der Digitale Zwilling .....	6
2.3 Die Verwaltungsschale (Asset Administration Shell) als Standard .....	7
2.4 Der Eclipse Dataspace Connector .....	8
<b>3 Konzeption</b> .....	<b>10</b>
3.1 Zielarchitektur: Modellierung einer Subfab mittels AAS .....	10
3.2 Herleitung des Simulationsansatzes .....	11
3.3 Auswahl des Implementierungs-Frameworks: Eclipse BaSyx .....	14
3.4 Entwurf des AAS-Modells .....	16
<b>4 Implementierung</b> .....	<b>18</b>
4.1 Evaluation der Datenraum Konnektivität .....	18
4.2 Aufbau der AAS-Laufzeitumgebung .....	18
4.3 Modellierung und Erstellung der Verwaltungsschalen .....	19
4.4 Realisierung und Anbindung des Drucksimulators .....	21
<b>5 Fazit und Ausblick</b> .....	<b>23</b>
<b>Literatur</b> .....	<b>25</b>
<b>A Struktureller Aufbau der Verwaltungsschale</b> .....	<b>27</b>
<b>B Docker-Compose für BaSyx Off-The-Shelf Komponenten</b> .....	<b>28</b>
<b>C Drucksimulator Python Script</b> .....	<b>31</b>
<b>D REST Antwort</b> .....	<b>40</b>

---

## Abkürzungsverzeichnis

<b>TUD</b>	Technische Universität Dresden
<b>API</b>	Application Programming Interface
<b>CGSA</b>	Computer Graphics, Systems and Applications
<b>AAS</b>	Asset Administration Shell
<b>ABAC</b>	Attribute Based Access Control
<b>BaSyx</b>	Basic-Industrie-4.0-System-Infrastruktur
<b>EDC</b>	Eclipse Dataspace Connector
<b>HTTP</b>	Hypertext Transfer Protocol
<b>IESE</b>	Fraunhofer-Institut für Experimentelles Software Engineering
<b>MLP</b>	MultiLanguageProperty
<b>Prop</b>	Property
<b>REST</b>	Representational State Transfer
<b>Shell</b>	AdministrationShell
<b>SMC</b>	SubmodelElementCollection
<b>SML</b>	SubmodelElementList
<b>Sub</b>	Submodel
<b>SDK</b>	Software development kit
<b>GUI</b>	grafische Benutzeroberfläche
<b>IDTA</b>	Industrial Digital Twin Association

---

## **Abbildungsverzeichnis**

<b>Abbildung 1</b>	<b>Zielarchitektur der Datenpipeline vom Asset zum Client .....</b>	<b>10</b>
<b>Abbildung 2</b>	<b>Modellierung Pumpen-Abatement-Abgassystem .....</b>	<b>11</b>
<b>Abbildung 3</b>	<b>Bearbeiten der Verwaltungsschale mit dem AASX-Packageexplorer .....</b>	<b>20</b>
<b>Abbildung 4</b>	<b>Python Drucksimulator GUI .....</b>	<b>22</b>

---

## **Tabellenverzeichnis**

<b>Tabelle 1 Matrix über Druckverhältnisse und mögliche Szenarien .....</b>	<b>12</b>
<b>Tabelle 2 Use-Cases für die Simulation .....</b>	<b>14</b>

---

# 1 Einleitung

## 1.1 Motivation

Der Halbleiterproduktionsprozess stellt besonders hohe Anforderungen an seine Prozessumgebungen, weshalb Frontend Fabriken von Halbleiterherstellern als Reinraum aufgebaut sind. Sie bestehen aus drei Ebenen: dem Reinraum mit den Prozess- und Messmaschinen auf mittlerer Ebene, der Sub-Fab mit Maschinen und Anlagen zur Aufbereitung von Reinstwasser, Abgasreinigung und Maschinenmedienversorgung über und unter dem Reinraum.

Bei den Produktionsprozessen fallen verschiedene Abgase und Prozesschemikalien an, die nicht direkt in die Umgebung abgegeben werden dürfen. Die Abgase entstehen typischerweise in Prozesskammern (z.B. Ätz- oder Implantationsanlagen). Diese Gase müssen sicher aus dem Reinraum entfernt und in der SubFab in einem Abatement-System (Gasreinigungssystem) behandelt werden. Spezielle Vakuumpumpen saugen die Gase ab, da viele Prozesse unter Unterdruck stattfinden. Die Pumpen sind oft ebenfalls in den SubFab-Bereich verlagert, um Vibrationen und Partikelemissionen im Reinraum zu minimieren. Das Abatement-System reinigt die Abgase durch verschiedene Verfahren, abhängig von der Zusammensetzung der Schadstoffe (z.B. durch Thermische Oxidation oder per Nasswäscher). Nach der Reinigung werden die neutralisierten Abgase sicher in die Abluftanlage der Fabrik abgeleitet.

Die Zuverlässigkeit von Vakuumpumpen und Abatement-Systemen ist daher essenziell für stabile Produktionsprozesse. Unerkannter Verschleiß an Pumpen oder verstopfte Zuleitungen zum Abatement können die Produktion beeinträchtigen. Die Druckverhältnisse in beiden Systemen bestimmt die Effizienz des Abgastransports. Wartungsbedarfe frühzeitig zu erkennen, ermöglicht nicht nur Kosteneinsparungen, sondern minimiert auch ungeplante Stillstände. Durch einen kontinuierlichen Abgleich von Druckwerten (Solldruck der Pumpe, Druck am Ausgang der Pumpe und Druck am Abatement) lassen sich Rohrverschmutzungen erkennen und Rückschlüsse auf den Gesundheitszustand von Pumpen ziehen. Aktuell können diese Messwerte nur direkt an den Geräten in der SubFab abgelesen werden. Das bedeutet, dass Wartungstechniker regelmäßig vor Ort Messungen durchführen und Anomalien manuell identifizieren müssen. Diese zeitaufwändige reaktive Wartung erlaubt jedoch keine kontinuierliche, vorausschauende Diagnose (Predictive

Maintenance) mit optimierten Wartungsempfehlungen, wie es durch einen direkten Zugriff des Equipmentherstellers per Ferndiagnose möglich wäre.

Im Rahmen des FuE-Seminars soll untersucht werden, inwieweit strukturierte Daten aus dem Sub-Fab Bereich einer Halbleiterfabrik zur Remote-Überwachung von Prozessen genutzt werden können, um und proaktive Wartungsempfehlungen zu geben. Hierbei steht die Integration von Digitalen Zwillingen auf Basis der AAS im Fokus. Die AAS ermöglicht eine standardisierte hierarchische Beschreibung von digitalen Zwillingen. Mit dem EDC können Daten, wie auch AAS, in einem gemeinsamen Datenraum zugänglich gemacht werden. Der Fokus bei dieser Form des Datenaustausches liegt auf der Souveränität der Daten und der damit verbundenen Kontrolle des Datenanbieters über seine Daten.

## 1.2 Aufgabenstellung

### 1.2.1 Allgemein

Die übergeordnete Zielsetzung dieser Forschungsarbeit ist die **Integration und der Austausch** von Equipmentdaten von Vakuumpumpen und Abatement-Systemen zur Überwachung und Wartungsoptimierung in der Halbfabrikation. Hierfür soll untersucht werden, wie die **Asset Administration Shell** als standardisierter Digitaler Zwilling und der **Eclipse Dataspace Connector** für einen souveränen Datenaustausch genutzt werden können, um die Lücke zwischen dem Fabrikbetreiber und dem Equipmenthersteller zu schließen.

### 1.2.2 Sommersemester 2025

Die vorliegende Arbeit stellt die erste Phase dieses Forschungsvorhabens dar und legt die technologische und konzeptionelle Grundlage für die gesamte Datenpipeline. Der Schwerpunkt liegt auf der Erstellung einer validen, standardisierten und dynamischen Datengrundlage. Dies umfasst zunächst eine fundierte Einarbeitung in die relevanten Technologiefelder der Halbleiterproduktion, der Asset Administration Shell und des Eclipse Dataspace Connectors.

Auf dieser Wissensbasis erfolgt die **Konzeption und Erstellung von AAS-Modellen** für eine Vakuumpumpe und ein Abatement-System. Die Modellierung soll dabei möglichst umfangreich sein, um die Assets detailliert abzubilden. Ein zentrales Element ist die Erstellung eines Konzepts zur Bereitstellung der für die Wartungsanalyse entscheidenden Druckwerte. Konkret müssen die folgenden drei Werte über die Verwaltungsschalen

zugänglich gemacht werden: der **Solldruck** der Pumpe, der **tatsächlich erreichte Druck an ihrem Ausgang** sowie der **Druck am Eingang des nachgeschalteten Abatement-Systems**. Die Differenz und das Verhalten dieser Werte zueinander bilden die informationstechnische Basis für die spätere Fehlerdiagnose.

Um eine realitätsnahe Datengrundlage für die Analyse zu schaffen, wird parallel ein **Druck-Simulator entwickelt**. Dessen Aufgabe ist die Modellierung und Validierung verschiedener Wartungsszenarien. Der Simulator muss das Druckverhalten in Abhängigkeit von Faktoren wie Verschmutzung, Durchfluss und Pumpenleistung abbilden können. Insbesondere sollen Szenarien für typische Störfälle wie Pumpenausfälle und Rohrverstopfungen modelliert werden. Dies schließt den normalen Betrieb, eine allmähliche Verschmutzung, eine plötzliche Blockade sowie einen abrupten Pumpenausfall oder Druckabfall mit ein. Die Implementierung dieser Komponenten und die Verfassung der vorliegenden wissenschaftlichen Dokumentation bilden den Abschluss dieser ersten Projektphase.

## 1.3 Aufbau der Arbeit

Die vorliegende wissenschaftliche Arbeit ist in sechs Kapitel gegliedert, die den Leser systematisch von der Problemstellung über die theoretischen Grundlagen und die Konzeption bis hin zur praktischen Implementierung und deren Überprüfung führen.

**Kapitel 2** legt das theoretische Fundament zum Verständnis der Arbeit. Es werden zunächst die prozesstechnischen Besonderheiten der Halbleiterfertigung mit Fokus auf die Sub-Fab erläutert. Anschließend werden die Kernkonzepte von Industrie 4.0, des Digitalen Zwillings und dessen standardisierter Implementierung durch die Asset Administration Shell (AAS) vorgestellt. Abgeschlossen wird das Kapitel mit einer Einführung in den Eclipse Dataspace Connector (EDC) als Technologie für einen souveränen Datenaustausch.

Aufbauend auf diesen Grundlagen wird in **Kapitel 3** das spezifische Lösungskonzept für die Aufgabenstellung entwickelt. Dies umfasst den Entwurf der informationstechnischen Zielarchitektur, die Herleitung des Simulationsansatzes zur Generierung der Druckdaten sowie die Begründung für die Auswahl von Eclipse BaSyx als Implementierungs-Framework. Das Kapitel schließt mit dem detaillierten Entwurf des AAS-Modells für die Pumpe und das Abatement-System.

**Kapitel 4** dokumentiert die praktische Umsetzung des entworfenen Konzepts. Die einzelnen Schritte, von einer Untersuchung der Datenraum-Konnektivität über den Aufbau der AAS-Laufzeitumgebung bis hin zur konkreten Erstellung der Verwaltungsschalen und der Realisierung und Anbindung des Drucksimulators, werden hier detailliert beschrieben.

Die Verifikation der entwickelten Komponenten ist Gegenstand von **Kapitel 5**. Hier werden die durchgeführten Funktionalitätstests der AAS-Laufzeitumgebung sowie die Überprüfung des Drucksimulators und seiner erfolgreichen Datenübertragung in die Verwaltungsschale dargelegt und die Ergebnisse präsentiert.

Abschließend fasst **Kapitel 6** die Arbeit zusammen, reflektiert die erzielten Ergebnisse im Kontext der ursprünglichen Aufgabenstellung und gibt einen Ausblick auf die weiterführenden Arbeiten im kommenden Semester, welche die vollständige Realisierung der Datenpipeline und die KI-gestützte Analyse umfassen werden.

---

## 2 Grundlagen

### 2.1 Halbleiterfertigung: Die Subfab und ihre Prozesse

Die moderne Halbleiterfertigung, wie sie beispielsweise im Halbleiterwerk von Bosch in Dresden betrieben wird, ist ein Paradebeispiel für eine hochautomatisierte, datengetriebene Produktionsumgebung im Sinne der Industrie 4.0. In diesen „Fabriken der Zukunft“ werden immense Datenmengen generiert, um Prozesse mittels künstlicher Intelligenz zu überwachen, zu steuern und zu optimieren. Ein zentrales Merkmal dieser Fertigungsstätten ist die strikte räumliche und funktionale Trennung zwischen dem **Reinraum** und der unterstützenden Infrastruktur. (Bosch, 2021)

Im Reinraum finden die hochsensiblen Kernprozesse der Chipherstellung statt. Dazu gehören unter anderem die Fotolithografie, Ätzprozesse sowie diverse Beschichtungs- und Depositionsverfahren. Der Erfolg dieser Schritte hängt von einer quasi perfekten Umgebung ab, die frei von Partikeln, Vibrationen und anderen Störeinflüssen ist. Aus diesem Grund wird die gesamte notwendige Versorgungsinfrastruktur in einen separaten Bereich, die sogenannte Sub-Fab, ausgelagert. (Hilscher, 2023)

Die Sub-Fab ist das maschinelle Rückgrat des Reinraums. Sie beherbergt eine Vielzahl prozesskritischer Aggregate, darunter Stromversorgungen, Kühl- und Heizsysteme sowie die für diese Arbeit zentralen Vakuumpumpen und Abgasreinigungssysteme (Abate-ments). Die hohe Dichte an energieintensiven Anlagen macht die Sub-Fab für einen erheblichen Teil, teils bis zu 40%, des Gesamtenergieverbrauchs einer Fabrik verantwortlich, was ihre betriebswirtschaftliche und ökologische Relevanz unterstreicht. (Nitzschner & Krauße, 2024)

Die Vakuumpumpen spielen eine entscheidende Rolle, da viele der im Reinraum ablaufenden Ätz- und Beschichtungsprozesse ein prozessspezifisches Vakuum oder definierte Niederdruckbedingungen erfordern. Diese kontrollierte Atmosphäre ist notwendig, um chemische Reaktionen zu ermöglichen und Kontaminationen zu verhindern. Die Pumpen evakuieren die Prozesskammern und fördern die dabei anfallenden gasförmigen Nebenprodukte ab. Ihre Unterbringung in der Sub-Fab ist essenziell, um die Übertragung von störenden Vibrationen auf die Präzisionsanlagen im Reinraum zu verhindern. (Hilscher, 2023)

Die abgepumpten Prozessgase sind häufig umwelt- oder gesundheitsschädlich und dürfen nicht direkt in die Atmosphäre gelangen. Sie werden daher den Abatement-Systemen

zugeführt, die ebenfalls in der Sub-Fab installiert sind. Diese Anlagen reinigen die Abgase durch thermische, chemische oder physikalische Verfahren, bevor sie sicher abgeleitet werden.(Nitzschner & Krauße, 2024)

Die zuverlässige Funktion der Kette aus Prozessanlage, Vakuumpumpe und Abatement-System ist für einen stabilen Produktionsablauf unerlässlich. Ein Ausfall in diesem Versorgungspfad kann zum sofortigen Stillstand der betroffenen Produktionsmaschinen führen. Die Analyse von Betriebsdaten dieser Aggregate zur vorausschauenden Wartung (Predictive Maintenance) und zur Erkennung von Anomalien ist daher ein zentraler Hebel zur Steigerung der Gesamtanlageneffektivität (OEE) und zur Reduzierung ungeplanter Stillstände.(Hilscher, 2023)

### 2.2 Industrie 4.0 und der Digitale Zwilling

Die Vision der Industrie 4.0 zielt auf die Schaffung intelligenter, flexibler und weitgehend selbstorganisierter Produktionssysteme ab. Eine Grundvoraussetzung hierfür ist die lückenlose digitale Vernetzung aller an der Wertschöpfung beteiligten Akteure und Objekte – von der einzelnen Maschine bis zur gesamten Fabrik. (Plattform Industrie 4.0, 2023)

Der Digitale Zwilling ist ein umfassendes, virtuelles Abbild eines konkreten physischen Objekts oder sogar eines immateriellen Prozesses, das dynamisch mit seinem realen Gegenstück über dessen gesamten Lebenszyklus hinweg gekoppelt ist. Er ist somit weit mehr als nur ein statisches digitales Modell. Ein Kernaspekt des Digitalen Zwillings ist die Integration und Bündelung sämtlicher relevanter Informationen und Daten an einem zentralen, digital zugänglichen Ort. Dazu gehören sowohl statische Daten wie technische Spezifikationen und Dokumentationen als auch dynamische Betriebsdaten, die in Echtzeit von Sensoren aus der physischen Welt erfasst werden und den aktuellen Zustand des Assets widerspiegeln. (Krauß et al., 2023)

Die wahre Stärke und Bedeutung des Digitalen Zwillings für die Industrie 4.0 entfaltet sich durch seine Fähigkeit, nicht nur die Vergangenheit und Gegenwart eines Assets abzubilden, sondern auch dessen zukünftiges Verhalten zu simulieren. Durch die Einbettung von Verhaltensmodellen ermöglicht er die Analyse von Was-wäre-wenn-Szenarien, die virtuelle Inbetriebnahme von Anlagen oder die prädiktive Vorhersage von Wartungsbedarfen. Er wird somit zur informationstechnischen Grundlage, die es erlaubt, Produktionsprozesse zu überwachen, zu analysieren und zu optimieren, ohne direkt in den laufenden physischen Betrieb eingreifen zu müssen. Indem der Digitale Zwilling eine einheitliche

und herstellerübergreifende Datengrundlage schafft, löst er Inselsysteme auf und wird zum entscheidenden Wegbereiter (Enabler) für Interoperabilität und datengetriebene Wertschöpfung in der intelligenten Fabrik der Zukunft.

### 2.3 Die Verwaltungsschale (Asset Administration Shell) als Standard

Während der Digitale Zwilling das übergeordnete, konzeptionelle Leitbild für die umfassende digitale Repräsentation eines Assets darstellt, bedarf es für dessen praktische Umsetzung in der Industrie 4.0 einer konkreten, herstellerübergreifenden Spezifikation. Diese standardisierte Implementierung des Digitalen Zwillings ist die Verwaltungsschale (engl. **Asset Administration Shell**) (Salari, 2019). Ihre Entwicklung wird maßgeblich von der Plattform Industrie 4.0 und der IDTA vorangetrieben, um eine zentrale Herausforderung der Digitalisierung zu lösen: die Interoperabilität. Die AAS schafft eine einheitliche digitale Sprache, die es Komponenten, Geräten und Anwendungen ermöglicht, über Unternehmens-, Branchen- und Ländergrenzen hinweg nahtlos zu kommunizieren.

Das Grundprinzip der Verwaltungsschale lässt sich am besten mit der Analogie eines digitalen Karteikartensystems beschreiben. Die AAS selbst ist der Kasten mit genormter Größe, der alle Informationen zu einem spezifischen Asset – beispielsweise einer Vakuumpumpe – enthält. Die einzelnen thematisch sortierten Karteikarten in diesem Kasten sind die **Teilmodelle** (engl. Submodels). So gibt es beispielsweise ein Teilmodell für technische Daten, eines für die Dokumentation und ein weiteres für operative Live-Daten. Diese Struktur wird durch ein übergeordnetes Metamodell formal definiert. Das Metamodell ist der Satz von fundamentalen Gestaltungsregeln, der festlegt, aus welchen Bausteinen eine jede AAS bestehen muss, welche Eigenschaften diese Bausteine haben und wie sie zueinander in Beziehung stehen. Die zentralen Bausteine sind dabei die AAS selbst, die zugehörigen Teilmodelle und die darin enthaltenen Teilmodellelemente (engl. SubmodelElements), welche die eigentlichen Datenpunkte als Eigenschaften, Operationen oder Dateien mit definierten Datentypen repräsentieren. (*Asset Administration Shell Specification - Part 1: Metamodel, o. J.*)

Ein entscheidender Aspekt für die Skalierbarkeit und Wiederverwendbarkeit ist die Unterscheidung zwischen Typen und Instanzen. Ein Asset kann als Typ (z. B. das generische Pumpenmodell eines Herstellers) oder als Instanz (die spezifische Pumpe mit der Seriennummer XYZ) existieren. Analog dazu werden für Teilmodelle Templates definiert. Ein solches Template agiert wie ein standardisiertes, vorgedrucktes Formular

oder ein Datenbankschema. Es gibt die Struktur, die Bezeichner und die Semantik für ein bestimmtes Teilmодell, wie z.B. ein "Digitales Typenschild", verbindlich vor. Ein Hersteller, der die Daten seiner Pumpe digital bereitstellen möchte, "füllt" dieses Template aus und erzeugt damit eine Teilmодell-Instanz. Dieser Mechanismus stellt sicher, dass alle digitalen Typenschilder, unabhängig vom Hersteller, die gleiche Struktur aufweisen und somit maschinell interoperabel sind. (Bader, 2019)

Die Sicherheit und die Kontrolle über die bereitgestellten Daten sind im industriellen Kontext von höchster Priorität. Die AAS-Spezifikation trägt dem Rechnung, indem sie ein Sicherheitskonzept integriert, das auf attributbasierter Zugriffskontrolle (ABAC) basiert. Dieses Modell ermöglicht es, sehr granulare Zugriffsrechte zu definieren und somit präzise zu steuern, welcher Partner welche Informationen innerhalb einer Verwaltungsschale einsehen oder verändern darf. (Bader, 2019)

Der letztendliche Verwendungszweck der Verwaltungsschale ist die Schaffung einer durchgängigen, digitalen Interoperabilität über den gesamten Lebenszyklus eines Assets hinweg – von der Planung und dem Engineering über den Betrieb und die Wartung bis hin zum Recycling. Indem sie eine einheitliche, semantisch reichhaltige und maschinenlesbare Datengrundlage bietet, ermöglicht die AAS den nahtlosen Informationsaustausch zwischen verschiedenen Unternehmen einer Wertschöpfungskette und wird so zum zentralen Wegbereiter für die flexiblen und datengetriebenen Geschäftsmodelle der Industrie 4.0.

### 2.4 Der Eclipse DataSpace Connector

Während die Verwaltungsschale das *Was* – also die standardisierte Struktur und Semantik – des Digitalen Zwillings definiert, adressieren Datenraumtechnologien das *Wie* des Datenaustauschs. Die fortschreitende Vernetzung im Rahmen von Industrie 4.0 erfordert einen unternehmensübergreifenden Datenaustausch, der jedoch auf einer fundamentalen Prämisse beruhen muss: der Datensouveränität. Jeder Teilnehmer eines Datenökosystems muss zu jeder Zeit die vollständige Kontrolle darüber behalten, wer auf seine Daten zugreift und unter welchen Bedingungen diese genutzt werden dürfen. Die technische Umsetzung solcher souveränen, dezentralen Datenräume wird maßgeblich durch Initiativen wie die International Data Spaces Association (IDSA) (International Data Spaces Association, 2024) vorangetrieben.

Der **Eclipse Dataspace Connector (EDC)** ist ein Open-Source-Framework, das als technisches Kernstück zur Realisierung solcher Datenräume dient. (Eclipse Foundation, 2024a) Er implementiert die Protokolle und Mechanismen, die für einen sicheren und souveränen Datenaustausch zwischen Teilnehmern notwendig sind, ohne dass eine zentrale Plattform erforderlich wäre. Die Architektur des EDC basiert auf der strikten Trennung von zwei Ebenen: der Kontroll- und der Datenebene (*Control Plane* und *Data Plane*) (Eclipse Foundation, 2024b).

Auf der **Kontrollebene** finden alle vorbereitenden und administrativen Prozesse statt. Hierzu gehört das Aushandeln von Verträgen. Ein datennutzender Teilnehmer (Konsument) fragt die verfügbaren Datenangebote eines Datenanbieters ab. Jedes Angebot ist mit einer maschinenlesbaren Nutzungsrichtlinie (*Usage Policy*) verknüpft. In einem automatisierten Verhandlungsprozess einigen sich die Konnektoren beider Teilnehmer auf einen digitalen Vertrag, der die genauen Nutzungsbedingungen festlegt. Erst nach erfolgreichem Vertragsabschluss wird die **Datenebene** für den eigentlichen Transfer aktiviert.

Dieser Mechanismus stellt sicher, dass kein Datentransfer ohne explizite, regelbasierte Zustimmung erfolgt, wodurch die Datensouveränität des Anbieters technisch durchgesetzt wird. Für das in dieser Arbeit untersuchte Szenario ist der EDC somit die Schlüsseltechnologie, um den Austausch von Verwaltungsschalen – als Träger der wertvollen Pumpen- und Abatement-Daten – zwischen Halbleiterfabrik und Equipmenthersteller zu ermöglichen. Die AAS definiert den Inhalt und die Struktur des auszutauschenden Digitalen Zwillings, während der EDC den sicheren und kontrollierten "Transportcontainer" für diesen Austausch bereitstellt und somit die souveräne Zusammenarbeit in einem verteilten industriellen Ökosystem realisiert.

## 3 Konzeption

### 3.1 Zielarchitektur: Modellierung einer Subfab mittels AAS

Die Grundlage für den souveränen und standardisierten Austausch von Equipmentdaten bildet eine konzeptionelle Zielarchitektur, welche die informationstechnische Kapselung der physischen Assets und deren kontrollierte Freigabe in einem unternehmensübergreifenden Datenraum beschreibt. Diese Architektur, dargestellt in **Abbildung Abbildung 1**, gliedert das Gesamtsystem in drei logische Domänen, die den Informationsfluss vom Entstehungsort der Daten bis zu ihrer finalen Verwertung abbilden

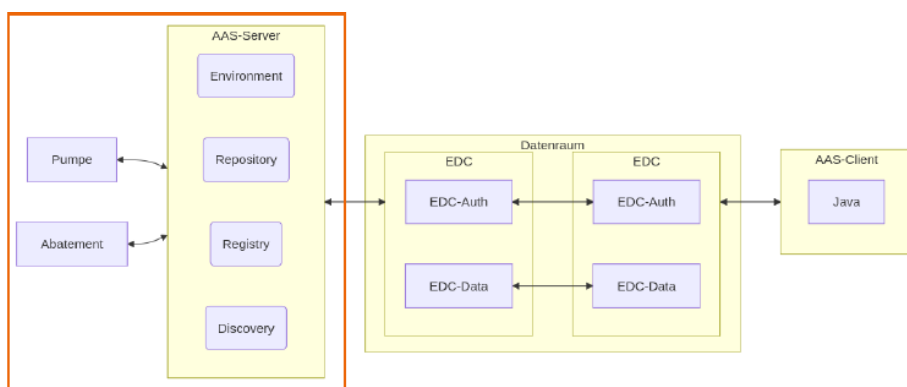


Abbildung 1: Zielarchitektur der Datenpipeline vom Asset zum Client

Der Prozess hat seinen Ursprung in der Domäne des Datenanbieters, in diesem Kontext der Halbleiterfabrik. Hier werden die physikalischen Assets – die Vakuumpumpe und das Abatement-System – durch eine datengenerierende Simulation repräsentiert, welche die prozessrelevanten Druckwerte dynamisch erzeugt. Diese Livedaten werden in eine servicebasierte Laufzeitumgebung überführt, die für die Verwaltung der standardisierten Digitalen Zwillinge zuständig ist.

Eine solche Umgebung stellt die Kernfunktionalitäten wie einen Speicher der AAS-Instanzen und ihrer Teilmodelle sowie Services, die das Auffinden dieser Verwaltungsschalen im Netzwerk des Anbieters ermöglicht.

Die informationstechnische Brücke zu externen Partnern wird durch die Domäne des Datenraums geschlagen. Für die Realisierung dieses souveränen Datenaustauschs betreiben beide Geschäftspartner eine Instanz eines Konnektors, wie ihn beispielsweise der Eclipse Data Space Connector (EDC) darstellt. Dessen Architektur sieht eine strikte Trennung von Kontroll- und Datenebene vor. Auf der Kontrollebene (EDC-Auth) werden zunächst die Zugriffs- und Nutzungsbedingungen in Form von maschinenlesbaren Policies ausge-

handelt. Erst nach einem erfolgreichen Abschluss dieses digitalen Vertrags wird die Datenebene (EDC-Data) aktiviert, um den eigentlichen Transfer der Verwaltungsschale sicher und gemäß der zuvor vereinbarten Richtlinien durchzuführen.

In der Domäne des Datennutzers, dem Equipmenthersteller, empfängt schlussendlich eine anwenderspezifische **Client-Anwendung** die autorisierten AAS-Daten. Diese Applikation ist für die nachgelagerte, fachliche Analyse der übermittelten Informationen zuständig, um aus den Druckwerten wertvolle Erkenntnisse für die prädiktive Wartung zu gewinnen und entsprechende Handlungsempfehlungen abzuleiten. Diese architektonische Trennung gewährleistet auf konzeptioneller Ebene, dass die Halbleiterfabrik die volle Souveränität über ihre Daten behält, während der Equipmenthersteller auf standardisierte und autorisierte Weise auf die für ihn relevanten Informationen zugreifen kann.

## 3.2 Herleitung des Simulationsansatzes

Die Implementierung einer prädiktiven Wartungsstrategie basiert fundamental auf der Analyse von Daten, die den "Gesundheitszustand" eines Systems widerspiegeln. Im betrachteten Anwendungsfall der Halbleiter-Sub-Fab ist die Effizienz des Abgastransports von der Prozesskammer zum Abatement-System von kritischer Bedeutung. Dieses System (vgl. **Abbildung Abbildung 2**), bestehend aus Pumpe, Rohrleitung und Abatement-System, bildet eine physikalisch gekoppelte Einheit, deren Zustand maßgeblich durch die herrschenden Druckverhältnisse bestimmt wird. Eine Abweichung der Druckdifferenz zwischen dem Pumpenausgang und dem Abatement-Eingang von einem definierten optimalen Betriebszustand ist ein starker Indikator für eine beginnende Anomalie.

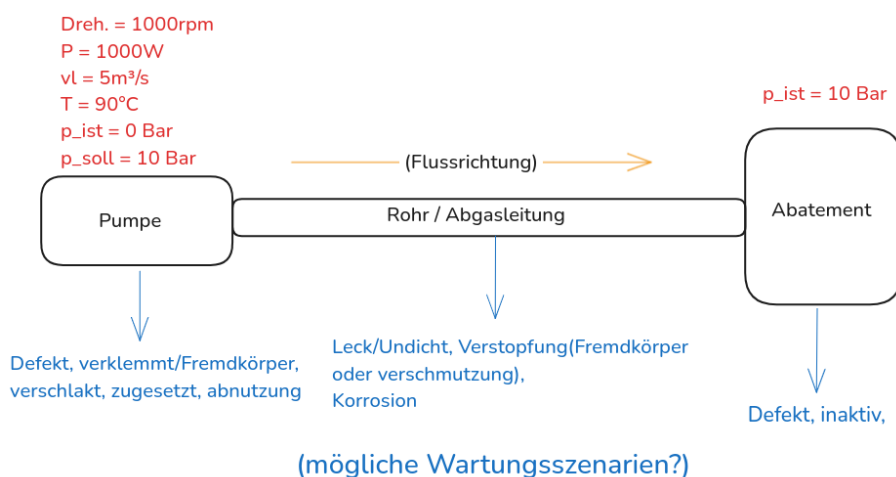


Abbildung 2: Modellierung Pumpen-Abatement-Abgassystem

Da in der realen Produktionsumgebung keine Livedaten zur Verfügung stehen und das gezielte Herbeiführen von Fehlfunktionen für Testzwecke ausgeschlossen ist, ist die **Simulation** der physikalischen Prozesse die einzige gangbare Methode, um eine validierte Datengrundlage zu schaffen. Eine solche Simulation ermöglicht es, kontrolliert und reproduzierbar Daten für eine Vielzahl von Betriebs- und Fehlerszenarien zu generieren. Diese Daten sind unerlässlich, um später KI-gestützte Modelle zur Anomalieerkennung zu trainieren und zu validieren. Die zu entwickelnde Simulation muss das dynamische Verhalten des gesamten Abgaspfades realitätsnah abbilden. Kernanforderung ist die Generierung der beiden zentralen Messgrößen, dem Ist-Druck am Ausgang der Pumpe und dem Ist-Druck am Eingang des Abatements.

Basierend auf den physikalischen Gegebenheiten und möglichen Fehlerquellen, die in **Abbildung Abbildung 2** skizziert sind, lassen sich verschiedene Wartungsszenarien ableiten, die von der Simulation abgebildet werden müssen. Dazu gehören der optimale Normalbetrieb, eine allmähliche Rohrverschmutzung, eine plötzliche Verstopfung, diverse Formen des Pumpenverschleißes oder -defekts sowie Leckagen im System. Die Korrelationen zwischen den Druckverhältnissen und den daraus resultierenden Fehlerbildern lassen sich systematisch in einer Matrix zusammenfassen, wie sie in **Tabelle Tabelle 1** dargestellt ist.

$\frac{P_{\text{pumpe}}}{P_{\text{ist}}}$ $\frac{P_{\text{Abatement}}}{P_{\text{ist}}}$	über Toleranzwert	innerhalb Toleranzwert	unterhalb Toleranzwert	kein Druck / Negativdruck
über Toleranzwert	Verstopfung	Abatement-Rückstau	Abatement-Rückstau & Pumpenfehler	Pumpenausfall mit Rückstau
innerhalb Toleranzwert	Verschmutzung	Optimaler Betrieb	Leckage / Pumpenfehler	Rohrbruch
unterhalb Toleranzwert	Rohr verstopft	Leckage	Pumpendefekt / Verschleiß	Systemfehler / Inaktivität
kein Druck / Negativdruck	Vollständiger Rohrverschluss	Sensorfehler	Pumpendefekt (Kein Druck)	Pumpe inaktiv / Verklemmt

Tabelle 1: Matrix über Druckverhältnisse und mögliche Szenarien

Aus dieser Systematik werden zentrale wissenschaftliche Hypothesen abgeleitet, welche die Simulationsdaten verifizieren sollen. Es wird postuliert, dass ein schleichender Anstieg der Druckdifferenz zwischen den beiden Messpunkten bei gleichzeitig erhöhtem Druck am Pumpenausgang auf eine progressive Rohrverschmutzung hindeutet. Im

Gegensatz dazu wird ein simultaner Druckabfall an beiden Punkten unter den Sollwert als Indikator für einen fortschreitenden Pumpenverschleiß oder einen akuten Defekt angenommen. Eine weitere Hypothese besagt, dass ein signifikanter Druckabfall am Abatement bei gleichzeitig nur leicht verändertem Druck an der Pumpe auf eine Leckage zwischen den beiden Messpunkten hinweist. Die Simulation muss daher so konzipiert sein, dass sie genau diese Muster erzeugen kann. Die generierten Zeitreihendaten für die in **Tabelle Tabelle 2** aufgeführten Szenarien bilden die Grundlage, um Algorithmen zu entwickeln, die eine Klassifizierung dieser unterschiedlichen Fehlerbilder ermöglichen und somit eine gezielte Wartungsempfehlung ableiten können.

Use-Case	Druck Pumpe [mBar]	Druck Abatement [mBar]	Pumpe Toleranz	Abatement Toleranz
Verstopfung	130	130	über	über
Abatement-Rückstau	110	130	innerhalb	über
Abatement-Rückstau & Pumpenfehler	70	130	unter	über
Pumpenausfall mit Rückstau	0	130	kein	über
Verschmutzung	130	110	über	innerhalb
Optimaler Betrieb	100	100	innerhalb	innerhalb
Leckage / Pumpenfehler	70	100	unter	innerhalb
Rohrbruch	0	100	kein	innerhalb
Rohr verstopft	130	70	über	unter
Leckage	110	70	innerhalb	unter
Pumpendefekt / Verschleiß	70	70	unter	unter
Systemfehler / Inaktivität	0	70	kein	unter
Vollständiger Rohrverschluss	130	0	über	kein
Sensorfehler	100	0	innerhalb	kein
Pumpendefekt (Kein Druck)	70	0	unter	kein
Pumpe inaktiv / Verklemmt	0	0	kein	kein

Tabelle 2: Use-Cases für die Simulation

### 3.3 Auswahl des Implementierungs-Frameworks: Eclipse BaSyx

Um die Konzepte der Verwaltungsschale praktisch umzusetzen, bedarf es einer Middleware, die eine standardkonforme Realisierung der Digitalen Zwillinge sowie der

notwendigen Infrastrukturdiene ste ermöglicht. Im Rahmen dieser Arbeit fiel die Wahl auf **Eclipse BaSyx**, da es sich hierbei um eine der ersten und zugleich die offizielle Open-Source-Referenzimplementierung für die Verwaltungsschale handelt, die unter dem Dach der Eclipse Foundation entwickelt wird. (Eclipse Foundation, 2024c)

Das Projekt wird maßgeblich vom Fraunhofer-Institut für Experimentelles Software Engineering (IESE) koordiniert und von einem breiten Netzwerk aus Industrie- und Forschungspartnern unterstützt und genutzt. (Eclipse Foundation, 2024d)

Die Entscheidung für dieses Framework gründet sich auf mehreren zentralen Vorteilen. Als Referenzimplementierung stellt es eine hohe Konformität mit den aktuellen Spezifikationen der IDTA sicher. Die Bereitstellung als Open-Source-Software unter einer industriefreundlichen Lizenz senkt die Einstiegshürden erheblich und erlaubt auch eine Nutzung im kommerziellen Kontext. (Eclipse Foundation, 2017)

Des Weiteren bietet BaSyx SDKs für gängige Programmiersprachen wie Java, C# und Python, was eine hohe Flexibilität bei der Anwendungsentwicklung gewährleistet. (Eclipse Foundation, 2024e)

Eclipse BaSyx stellt eine modulare Middleware zur Verfügung, die alle notwendigen Komponenten für den Aufbau einer AAS-basierten Infrastruktur als einzelne, containerisierte Microservices bereitstellt. Diese Dienste können kombiniert werden, um eine vollständige Laufzeitumgebung für Digitale Zwillinge zu schaffen. (Eclipse Foundation, 2023)

Der **AAS Server**, oft auch als **Repository** bezeichnet, ist die Kernkomponente für das Hosting der eigentlichen AAS- und Teilmodell-Instanzen. Er stellt eine standardisierte API (z.B. HTTP/REST) bereit, über die auf die Inhalte des Digitalen Zwillings zugegriffen, diese erstellt, gelesen, aktualisiert oder gelöscht werden können.

Die **AAS Registry** fungiert als zentrales Verzeichnis oder "Telefonbuch" für die Verwaltungsschalen. Jede AAS-Instanz im System wird hier mit ihrem eindeutigen Identifikator und dem Netzwerk-Endpunkt ihres AAS Servers registriert. Anwendungen können die Registry abfragen, um dynamisch herauszufinden, unter welcher Adresse eine bestimmte Verwaltungsschale erreichbar ist.

Analog zur AAS Registry dient die **Submodel Registry** der Registrierung und dem Auffinden von einzelnen Teilmodellen. Dies unterstützt eine dezentrale Architektur, in der

Teilmodelle von unterschiedlichen Servern bereitgestellt und dynamisch zu einer Gesamt-AAS aggregiert werden können.

Aufbauend auf den Registries ermöglicht der **Discovery**-Service eine semantische Suche über den Bestand der Verwaltungsschalen. Anstatt eine AAS über ihre eindeutige ID zu suchen, können Anwendungen hier beispielsweise alle Assets abfragen, die über ein bestimmtes Teilmodell (z.B. "Technische Daten") oder eine spezifische Eigenschaft verfügen.

Die **AAS Environment**-Komponente fasst schließlich die Gesamtheit aller AAS-bezogenen Elemente – also die AAS selbst, ihre Teilmodelle und die zugehörigen semantischen Definitionen (Concept Descriptions) – zusammen und stellt sie über eine einzige Schnittstelle als kohärente Einheit bereit, was insbesondere den Austausch von vollständigen Digitalen Zwillingen vereinfacht.

Obwohl alternative Open-Source-Implementierungen existieren, die sich teils durch eine einfachere Inbetriebnahme auszeichnen, wurde Eclipse BaSyx aufgrund seiner umfassenden Modularität und der vollständigen Abdeckung des AAS-Standards als überlegen für die in dieser Arbeit geforderte Realisierung bewertet. Die modulare Architektur von BaSyx erlaubt es, die einzelnen Infrastrukturkomponenten gezielt aufzusetzen und deren Zusammenspiel im Kontext des Eclipse Dataspace Connectors detailliert zu untersuchen, was eine zentrale Anforderung dieser wissenschaftlichen Arbeit ist.

#### 3.4 Entwurf des AAS-Modells

Die informationstechnische Abbildung des Sub-Fab-Systems erfordert ein durchdachtes und strukturiertes Modell der beteiligten Assets, das deren physische und logische Beziehungen widerspiegelt. Der hier verfolgte Entwurfsansatz basiert auf einer hierarchischen Komposition von Verwaltungsschalen, die eine **Parent-Child**- Beziehung etabliert. Dieser Aufbau ermöglicht es, das Gesamtsystem als eine logische Einheit zu betrachten und gleichzeitig die einzelnen Komponenten als eigenständige Digitale Zwillinge zu verwalten.

Das Wurzelement der Modellierung bildet eine übergeordnete Verwaltungsschale, beispielhaft als „SemiconductorX“ bezeichnet. Diese AAS fungiert als logische Klammer (Parent) für das gesamte zu betrachtende Abgassystem. Unterhalb dieser Hülle sind die Verwaltungsschalen für die eigentlichen physischen Komponenten als untergeordnete Elemente (Children) angesiedelt: die „**IndustrialExhaustPump**“ und das „**Abatement**“

**System“.** Jede dieser beiden Verwaltungsschalen stellt einen eigenständigen Digitalen Zwilling des jeweiligen Assets dar und wird durch eine Reihe von **Teilmodellen** beschrieben, welche die verschiedenen Aspekte des Assets kapseln.

Ein zentrales Ziel dieses Entwurfs ist die Gewährleistung von Interoperabilität und Standardkonformität. Aus diesem Grund wird, wo immer möglich, auf die Verwendung von standardisierten **Teilmodell-Templates** zurückgegriffen.(Admin Shell IO, 2024) Templates sind vordefinierte, standardisierte Schemata für Teilmodelle, die deren Struktur, Elemente und semantische Bedeutung festlegen und somit eine herstellerübergreifende, einheitliche Beschreibung von Aspekten ermöglichen. Für die grundlegende Identifikation wird in allen drei Verwaltungsschalen das etablierte Template „**Digital Nameplate**“ verwendet, um wesentliche Hersteller- und Typinformationen bereitzustellen. Zur Beschreibung der technischen Schnittstellen und Kommunikationsprotokolle wird für die Pumpe und das Abatement-System das Teilmodell „**TechnicalData**“ eingesetzt, welches auf dem standardisierten Template „**Asset Interfaces Description**“ basiert. Dies stellt sicher, dass die Art und Weise, wie auf die Daten der Assets zugegriffen werden kann, einheitlich und maschinenlesbar spezifiziert ist.

Den Kern des anwendungsspezifischen Datenmodells bildet jedoch das eigens für diese Arbeit konzipierte Teilmodell „**OperationalData**“. Da für die Erfassung von Live-Betriebsdaten kein universelles Standard-Template existiert, das die spezifischen Anforderungen dieses Anwendungsfalls abdeckt, wird hier ein domänenspezifisches Modell entworfen. Dieses Teilmodell enthält die für die prädiktive Wartungsanalyse entscheidenden Eigenschaften. Für die „IndustrialExhaustPump“ ist dies die Eigenschaft „**ActualPressure**“, welche den Ist-Druck an ihrem Ausgang repräsentiert. Korrespondierend dazu enthält das „OperationalData“-Teilmodell des „AbatementSystem“ ebenfalls eine Eigenschaft namens „**ActualPressure**“, die den Druck an seinem Eingang abbildet. Die semantische Verknüpfung und der Abgleich genau dieser beiden Werte bilden die datentechnische Grundlage für die spätere Analyse von Rohrverschmutzungen und Pumpendefekten.

Die Struktur der Verwaltungsschale ist in **Anhang A** beschrieben. □

---

## 4 Implementierung

### 4.1 Evaluation der Datenraum Konnektivität

Vor der Implementierung der vollständigen Datenpipeline war eine grundlegende Evaluation der Datenraum-Technologie erforderlich. Zu diesem Zweck wurden exemplarische Anwendungsfälle des Eclipse Dataspace Connectors (EDC) anhand der bereitgestellten Tutorials nachvollzogen und analysiert. Der Fokus dieser explorativen Phase lag darauf, die fundamentalen Mechanismen für einen souveränen Datenaustausch zu verstehen. Wesentliche Erkenntnisse konnten hinsichtlich des Aushandelns von Datennutzungsverträgen (Contract Negotiation) und des anschließenden, gesicherten Datentransfers gewonnen werden. Insbesondere wurde die Übertragung von generischen Payloads über die HTTP-Schnittstelle des EDC erprobt, um das grundlegende Verfahren zu validieren, mit dem später die Verwaltungsschalen als schützenswerte Datenassets zwischen den Teilnehmern des Datenraums ausgetauscht werden sollen.

### 4.2 Aufbau der AAS-Laufzeitumgebung

Die serverseitige Grundlage für die Bereitstellung der Digitalen Zwillinge wurde unter Verwendung der offiziellen **“Off-the-Shelf“-Komponenten** von Eclipse BaSyx realisiert. (Eclipse Foundation, 2023) Dieser Ansatz nutzt von den Entwicklern bereitgestellte, vorgefertigte Docker-Images, was den Aufbau einer standardkonformen und reproduzierbaren Systemumgebung erheblich vereinfacht. Für die in dieser Arbeit benötigte Kernfunktionalität wurden dabei insbesondere die Images für den **AAS Server** (Repository), die **AAS Registry** sowie den übergeordneten **AAS Environment**-Service verwendet.

Die Orchestrierung und Konfiguration dieser containerisierten Dienste erfolgte mittels einer “docker-compose“-Datei. Als Ausgangspunkt dienten hierfür die von der BaSyx-Community bereitgestellten Beispielkonfigurationen (Eclipse Foundation, 2024f), welche für die spezifischen Anforderungen dieses Projekts adaptiert wurden. Diese Anpassungen umfassten unter anderem die Netzwerkkonfiguration, um eine reibungslose Kommunikation zwischen den einzelnen Diensten sicherzustellen. Die resultierende, für diese Arbeit verwendete “docker-compose“-Konfiguration ist im **Anhang Anhang B** detailliert dokumentiert.

Nach dem erfolgreichen Start der Laufzeitumgebung erfolgt die gesamte Interaktion mit den Verwaltungsschalen über eine standardisierte HTTP/REST-Schnittstelle, die von den

BaSx-Diensten bereitgestellt wird. Die explorative Analyse der API ergab, dass mittels GET-Anfragen sowohl das Auffinden von Verwaltungsschalen über die Registry als auch das gezielte Auslesen von AAS, Teilmödellen und einzelnen Eigenschaften möglich ist. Für die dynamische Aktualisierung der Digitalen Zwillinge, wie sie später durch den Simulator erfolgt, kommen “PUT“-Anfragen zum Einsatz, mit denen die Werte einzelner Eigenschaften (Properties) überschrieben werden können. Eine wesentliche technische Erkenntnis bei der Arbeit mit der API war, dass Identifikatoren für den Transfer Base64-kodiert sein müssen, um eine URI-konforme Übertragung zu gewährleisten. Besonders entwicklerfreundlich ist, dass der Environment-Service eine interaktive Weboberfläche bereitstellt, auf der die gesamte API-Definition live abgefragt und getestet werden kann.

### 4.3 Modellierung und Erstellung der Verwaltungsschalen

Auf Basis der in **Kapitel 3.4** konzipierten hierarchischen Struktur (vgl. **Anhang Anhang A**) wurden die konkreten Verwaltungsschalen für das Abgassystem erstellt. Ein zentrales Kriterium bei der Modellierung war die maximale Wiederverwendung von standardisierten Bausteinen, um die Interoperabilität zu gewährleisten. Daher wurden für Aspekte, die einer branchenweiten Standardisierung unterliegen, offizielle Teilmodell-Templates aus dem öffentlichen Git-Repository der Industrial Digital Twin Association (IDTA) verwendet (Admin Shell IO, 2024).

Für die grundlegende Identifikation aller Assets kam das Template “**Digital Nameplate**“ zum Einsatz. Dieses weit verbreitete Teilmodell dient der Bereitstellung von Kerninformationen, die typischerweise auf einem physischen Typenschild zu finden sind, wie beispielsweise Herstellername (**ManufacturerName**), Produktbezeichnung (**ManufacturerProductDesignation**) und Seriennummer (**SerialNumber**). Durch die Nutzung dieses standardisierten Templates wird sichergestellt, dass jede Komponente im System ihre Stammdaten in einer einheitlichen, maschinenlesbaren Form präsentiert.

Da für die Erfassung der dynamischen Betriebsdaten kein universelles Standard-Template existiert, das die spezifischen Anforderungen dieses Anwendungsfalls abdeckt, wurde das anwendungsspezifische Teilmodell “**OperationalData**“ eigens für diese Arbeit konzipiert und erstellt. Dieses Teilmodell ist der zentrale Baustein für die spätere Analyse und enthält die für die prädiktive Wartung entscheidenden Eigenschaften (Properties). In der Verwaltungsschale der Pumpe (**IndustrialExhaustPump**) und des Abatement-Systems (**AbatementSystem**) wurde jeweils eine Eigenschaft namens “**Actual Pressure**“

## 4 Implementierung

implementiert. Diese repräsentiert den momentanen Ist-Druck am jeweiligen Messpunkt und dient als direkter Eingang für die Simulationsdaten, ohne dabei einen historischen Verlauf zu speichern.

Die Erstellung der finalen .aasx-Paketdateien, welche die konfigurierten Verwaltungsschalen mit ihren standardisierten und anwendungsspezifischen Teilmodellen enthalten, erfolgte mit dem **AASX Package Explorer** (Eclipse Foundation, 2024g). Dieses Werkzeug ermöglicht die grafische Komposition der verschiedenen Teilmodelle, die Konfiguration der spezifischen Eigenschaftswerte (z.B. das Eintragen der Seriennummern) und die Bündelung aller zugehörigen Informationen in einer einzigen, austauschbaren Datei. Ein solches AASX-Paket repräsentiert den vollständigen, in sich geschlossenen Digitalen Zwilling eines Assets und bildet die Datengrundlage für den späteren Transfer durch den Datenraum. (vgl. Abbildung Abbildung 3)

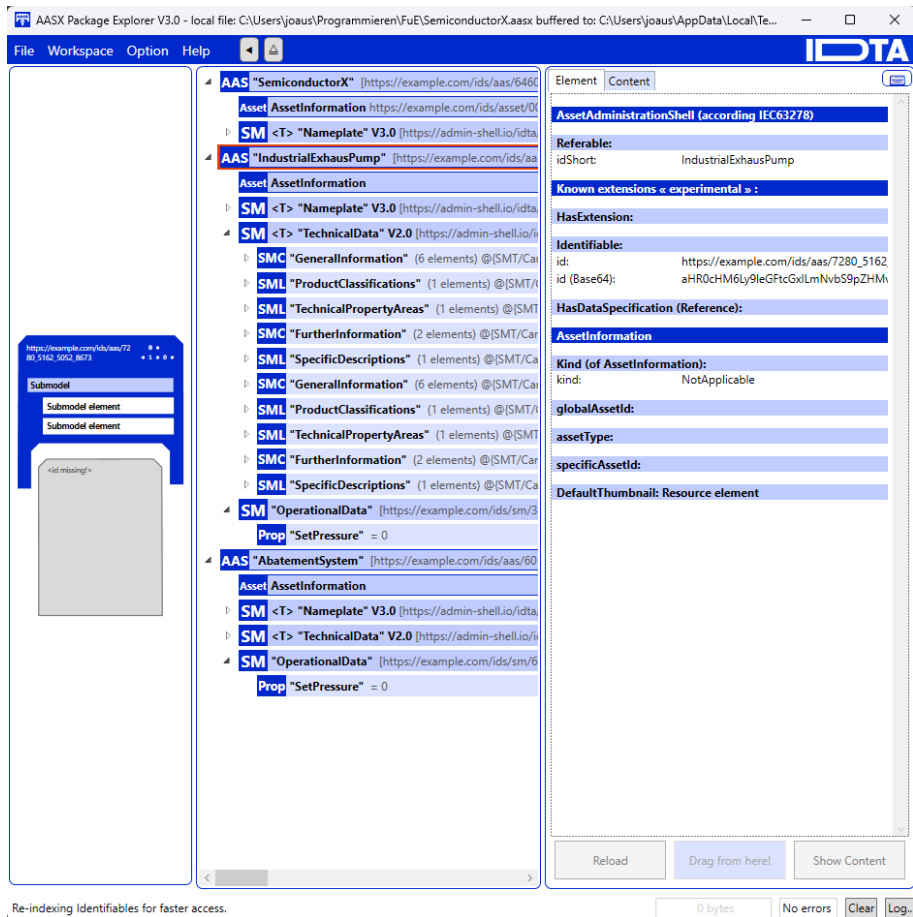


Abbildung 3: Bearbeiten der Verwaltungsschale mit dem AASX-Packageexplorer

### 4.4 Realisierung und Anbindung des Drucksimulators

Die Generierung der für die Analyse notwendigen Livedaten erfolgt durch einen eigens für diese Arbeit entwickelten, prozessbasierten Simulator. Als technologische Basis wurde die Programmiersprache **Python** in Kombination mit der Bibliothek **SimPy** gewählt. Python bietet durch sein reichhaltiges Ökosystem an Bibliotheken eine hervorragende Grundlage für wissenschaftliche und datenintensive Anwendungen, während SimPy als prozessbasiertes Framework für diskrete Ereignissimulationen besonders geeignet ist, um das zeitliche Verhalten von Systemen, wie den schleichen Anstieg einer Rohrverschmutzung oder plötzliche Defekte, realitätsnah abzubilden. Der Simulator ist architektonisch in zwei parallel laufende Prozesse aufgeteilt, die mittels Multithreading realisiert wurden: ein Prozess ist für die GUI und die Nutzerinteraktion zuständig, der andere für die kontinuierliche Generierung der Druckwerte und die Kommunikation mit der AAS-Infrastruktur.

Die Kernfunktionalität des Simulators ist die Erzeugung der Druckwerte für die Pumpe und das Abatement-System. Um abrupte Sprünge zu vermeiden und ein realistisches, trüges Systemverhalten nachzubilden, werden die Ist-Druckwerte iterativ an die Soll-Werte angehert. Dies simuliert den langsamen Druckauf- oder -abbau in einem physischen System. Über die grafische Benutzeroberflche kann der Anwender gezielt zwischen den zuvor in der Szenarien-Matrix definierten Wartungsfllen (vlg. **Tabelle Tabelle 1**) whlen oder manuell spezifische Drucksollwerte eingeben, um individuelle Tests durchzufhren. So knnen gezielt Daten fr alle relevanten Zustnde – vom Optimalbetrieb bis zum vollstndigen Systemausfall – erzeugt werden.

Die Anbindung des Simulators an die in **Kapitel 4.2** aufgebauten AAS-Laufzeitumgebung erfolgt über deren REST-API. In einem kontinuierlichen Prozess bermittelt der Simulator die aktuell generierten Ist-Druckwerte mittels einer HTTP-‘PATCH‘-Anfrage (eine spezifischere Form der ‘POST‘-Anfrage zur Aktualisierung eines Teils einer Ressource) an das entsprechende ‘Property‘-Element im ‘OperationalData‘-Teilmodell der jeweiligen Verwaltungsschale. Dieser Ansatz wurde bewusst gewählt, da er das typische Verhalten von IoT-fhigen Sensoren oder Mikrocontrollern nachbildet, die ihre Messwerte ebenfalls ber etablierte Netzwerkprotokolle an bergeordnete Systeme senden. Der Simulator agiert somit als valider und realitätsnaher Stellvertreter fr die physischen Assets in der Zielarchitektur.

## 4 Implementierung

---

Die **Abbildung Abbildung 4** zeigt die GUI des Python-Drucksimulators. Über Knopfdruck lassen sich die verschiedenen Use-Cases wie in **Tabelle Tabelle 2** beschrieben bedienen.

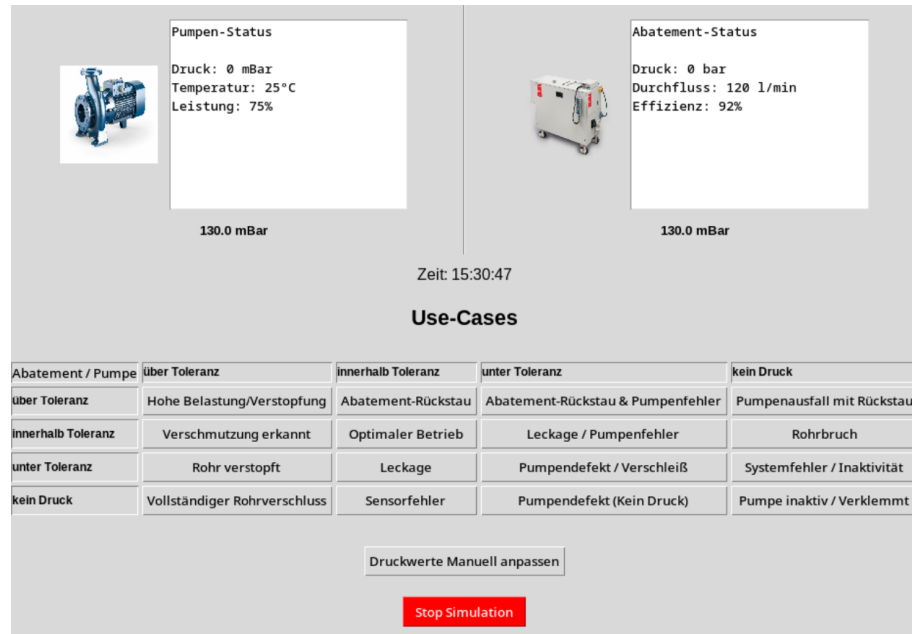


Abbildung 4: Python Drucksimulator GUI

---

## 5 Fazit und Ausblick

Die vorliegende Arbeit adressierte die Herausforderung der ineffizienten, reaktiven Wartung von prozesskritischen Anlagen in der Sub-Fab von Halbleiterfabriken. Ausgehend von der Problemstellung, dass relevante Betriebsdaten von Vakuumpumpen und Abatement-Systemen oft nur manuell vor Ort auslesbar sind, wurde ein Konzept für einen standardisierten und datensouveränen Informationsaustausch entwickelt, um die Grundlagen für prädiktive Wartungsstrategien zu schaffen. Das Kernziel war die Realisierung der ersten Hälfte einer prototypischen Datenpipeline, die von der Datenerfassung am Asset bis zu dessen standardisierter Repräsentation im Digitalen Zwilling reicht.

Im Rahmen der Konzeption und Implementierung konnten die in der Aufgabenstellung für das erste Semester formulierten Ziele erfolgreich umgesetzt werden. Es wurde eine voll funktionsfähige AAS-Laufzeitumgebung auf Basis von Eclipse BaSyx aufgebaut und die Verwaltungsschalen für eine Vakuumpumpe und ein Abatement-System unter Verwendung von Standard-Templates und anwendungsspezifischen Teilmödellen modelliert. Ein zentraler Meilenstein war die Entwicklung eines prozessbasierten Drucksimulators in Python, der in der Lage ist, Daten für eine Reihe von Wartungsszenarien – vom Optimalbetrieb über schlechende Rohrverschmutzung bis hin zum akuten Pumpendefekt – zu generieren. Die erfolgreiche Anbindung dieses Simulators an den AAS-Server über eine REST-API demonstriert eindrücklich die Kernfunktionalität der konzipierten Architektur: die echtzeitnahe Aktualisierung eines standardisierten Digitalen Zwilling mit Live-Betriebsdaten. Damit wurde der Nachweis erbracht, dass eine valide Datengrundlage für weiterführende Übertragungen und Analysen bereitgestellt werden kann.

Die Ergebnisse dieser Arbeit bilden eine robuste Grundlage für die im zweiten Semester anstehenden Aufgaben. Die nun verfügbare, datengestützte AAS-Infrastruktur ist die Voraussetzung für den nächsten Schritt: die Implementierung der vollständigen Datenpipeline unter Einbeziehung des Eclipse Dataspace Connectors. Der Fokus wird darauf liegen, die erstellten Verwaltungsschalen über einen souveränen Datenraum einem externen Akteur – dem Equipmenthersteller – kontrolliert zur Verfügung zu stellen. Die vom Simulator generierten, szenario-spezifischen Daten werden anschließend als Trainings- und Validierungsdatensatz für die Entwicklung einer KI-gestützten Analyse der Druckdifferenzen dienen. Das finale Ziel bleibt die Ableitung konkreter, proaktiver Wartungsempfehlungen,

## 5 Fazit und Ausblick

---

um die Vision einer datengetriebenen Instandhaltung in der Halbleiterfertigung zu realisieren.

---

## Literatur

- Admin Shell IO. (2024, ). *Submodel Templates*. <https://github.com/admin-shell-io/submodel-templates>
- Asset Administration Shell Specification - Part 1: Metamodel*. (o. J.).
- Bader, S. (2019). *Details of the Asset Administration Shell - Part 1*.
- Bosch. (2021, Juni 7). *Fabrik der Zukunft: Halbleiterwerk Dresden*. <https://www.bosch.com/de/stories/fabrik-der-zukunft-halbleiterwerk-dresden/>
- Eclipse Foundation. (2017, Dezember 21). *Eclipse BaSyx Projektseite*. <https://projects.eclipse.org/projects/dt.basyx>
- Eclipse Foundation. (2023, ). *Eclipse BaSyx Wiki*. <https://wiki.basyx.org/en/latest>
- Eclipse Foundation. (2024c, ). *Eclipse BaSyx*. <https://eclipse.dev/basyx/>
- Eclipse Foundation. (2024e, ). *Eclipse BaSyx auf GitHub*. <https://github.com/eclipse-basyx>
- Eclipse Foundation. (2024f, ). *Eclipse BaSyx Java Server SDK*. <https://github.com/eclipse-basyx/basyx-java-server-sdk#>
- Eclipse Foundation. (2024a, ). *Eclipse Data Space Connector*. <https://www.eclipse.org/edc/>
- Eclipse Foundation. (2024b, ). *Eclipse Data Space Connector: Architektur*. <https://www.eclipse.org/edc/docs/developer/architecture/>
- Eclipse Foundation. (2024g, ). *Package Explorer*. <https://github.com/eclipse-aaspe/package-explorer>
- Eclipse Foundation. (2024d, ). *Über Eclipse BaSyx*. <https://eclipse.dev/basyx/about/>
- Hilscher. (2023, März 23). *Die Halbleiterfertigung und ihre Maschinen*. <https://www.hilscher.com/de/der-hilscher-blog/blog-die-halbleiterfertigung-und-ihre-maschinen>
- International Data Spaces Association. (2024, ). *International Data Spaces*. <https://internationaldataspaces.org/>
- Krauß, J., Schmetz, A., Fitzner, A., Ackermann, T., Pouls, K. B., Hülsmann, T.-H., Roth, D., Gehring, J., Hamacher, N. C., Jaspers, W., Mohring, L., Rube, N., Tübke, J., Kies, A. D., Krepplein, A., Abramowski, J.-P., Schmitt, R. H., Baum, C., Brandstetter, A., ... Kampker, A. (2023, Januar 9). *Der Digitale Zwilling in der Batteriezellferti-*

- gung. <https://publica.fraunhofer.de/entities/publication/05cc0964-10f5-43fd-b8b5-6b4d05bad628>
- Nitzschner, J., & Krauße, R. (2024, November 28). *Netzwerk im Rampenlicht: Mikroelektronik, Software und Zulieferunternehmen arbeiten gemeinsam an der ressourceneffizienten Sub Fab*. <https://silicon-saxony.de/netzwerk-im-rampenlicht-mikroelektronik-software-und-zulieferunternehmen-arbeiten-gemeinsam-an-der-ressourceneffiziente-n-sub-fab/>
- Plattform Industrie 4.0. (2023, ). *Hintergrund*. <https://www.plattform-i40.de/IP/Navigation/DE/Plattform/Hintergrund/hintergrund.html>
- Salari, A. (2019). *The Asset Administration Shell: Implementing digital twins for use in Industrie 4.0*. <https://www.plattform-i40.de/IP/Redaktion/EN/Downloads/Publikation/VWSiD%20V2.0.html>

---

## A Struktureller Aufbau der Verwaltungsschale

- **Shell:** SemiconductorX (Parent)
  - **Sub:** Nameplate [Template-Git]
- **Shell:** IndustrialExhausPump (Child)
  - **Sub:** Nameplate [Template-Git]
  - **Sub:** TechnicalData [Template-Git]
  - **Sub:** OperationalData
    - **Prop:** ActualPressure
- **Shell:** AbatementSystem (Child)
  - **Sub:** Nameplate [Template-Git]
  - **Sub:** TechnicalData [Template-Git]
  - **Sub:** OperationalData
    - **Prop:** ActualPressure

---

## B Docker-Compose für BaSyx Off-The-Shelf Komponenten

```
services:
  mongo:
    image: mongo:5.0.10
    # Provide mongo config
    restart: always
    environment:
      MONGO_INITDB_ROOT_USERNAME: mongoAdmin
      MONGO_INITDB_ROOT_PASSWORD: mongoPassword
    # Set health checks to wait until mongo has started
    #volumes:
    # - ./data-vol:/data/db
    healthcheck:
      test: mongo
      interval: 10s
      start_period: 5s
      retries: 5
    # Maps tcp port to host
    #ports:
    # - 27017:27017

  mqtt:
    image: eclipse-mosquitto:2.0.15
    ports:
      - 1884:1884
    volumes:
      - ./mosquitto:/mosquitto/config
    healthcheck:
      test: ["CMD-SHELL", mosquitto_sub -p 1884 -t 'topic' -C 1 -E -i probe
-W 3]
      interval: 5s
      retries: 3
      start_period: 1s
      timeout: 10s

  aas-env:
    image: eclipsebasyx/aas-environment:2.0.0-SNAPSHOT
    volumes:
      - ./aas-env.properties:/application/application.properties
```

```
- ./aas:/application/aas
ports:
- 8081:8081
depends_on:
mongo:
  condition: service_healthy
mqtt:
  condition: service_healthy
aas-registry:
  condition: service_healthy
sm-registry:
  condition: service_healthy

aas-registry:
image: eclipsebasyx/aas-registry-log-mongodb:2.0.0-SNAPSHOT
ports:
- 8082:8080
volumes:
- ./aas-registry.yml:/workspace/config/application.yml
depends_on:
mongo:
  condition: service_healthy

sm-registry:
image: eclipsebasyx/submodel-registry-log-mongodb:2.0.0-SNAPSHOT
ports:
- 8083:8080
volumes:
- ./sm-registry.yml:/workspace/config/application.yml
depends_on:
mongo:
  condition: service_healthy

aas-discovery:
image: eclipsebasyx/aas-discovery:2.0.0-SNAPSHOT
ports:
- 8084:8081
volumes:
- ./aas-discovery.properties:/application/application.properties
depends_on:
```

```
mongo:
  condition: service_healthy

basyx-client:
  build:
    context: ./basyx-client
    dockerfile: Dockerfile
  container_name: basyx-client
  env_file: ./basyx-client.env
  network_mode: host
  depends_on:
    aas-env:
      condition: service_healthy

aas-web-ui_v2:
  image: eclipsebasyx/aas-gui:SNAPSHOT
  container_name: aas-web-ui_v2
  ports:
    - "3000:3000"
  environment:
    AAS_REGISTRY_PATH: "http://localhost:8082/shell-descriptors"
    SUBMODEL_REGISTRY_PATH: "http://localhost:8083/submodel-descriptors"
    AAS_DISCOVERY_PATH: "http://localhost:8084/lookup/shells"
    AAS_REPO_PATH: "http://localhost:8081/shells"
    SUBMODEL_REPO_PATH: "http://localhost:8081/submodels"
    CD_REPO_PATH: "http://localhost:8081/concept-descriptions"
  restart: always
  depends_on:
    aas-env:
      condition: service_healthy
```

---

## C Drucksimulator Python Script

```
import tkinter as tk
from tkinter import ttk
import simpy
import threading
import time
from datetime import datetime
import requests
from PIL import Image, ImageTk

# Use-Case Labels and Values

button_labels = [
    "Hohe Belastung/Verstopfung",
    "Abatement-Rückstau",
    "Abatement-Rückstau & Pumpenfehler",
    "Pumpenausfall mit Rückstau",
    "Verschmutzung erkannt",
    "Optimaler Betrieb",
    "Leckage / Pumpenfehler",
    "Rohrbruch",
    "Rohr verstopft",
    "Leckage",
    "Pumpendefekt / Verschleiß",
    "Systemfehler / Inaktivität",
    "Vollständiger Rohrverschluss",
    "Sensorfehler",
    "Pumpendefekt (Kein Druck)",
    "Pumpe inaktiv / Verklemmt"
]

use_case_values = {
    0: (130, 130),
    1: (110, 130),
    2: (70, 130),
    3: (0, 130),
    4: (130, 110),
    5: (100, 100),
    6: (70, 100),
```

## C Drucksimulator Python Script

---

```
    7: (0, 100),
    8: (130, 70),
    9: (110, 70),
   10: (70, 70),
   11: (0, 70),
   12: (130, 0),
   13: (100, 0),
   14: (70, 0),
   15: (0, 0)
}

header_labels = ["über Toleranz", "innerhalb Toleranz", "unter Toleranz",
"kein Druck"]

class SimulationApp:
    def __init__(self, root, env):
        self.root = root
        self.env = env
        # Control flag for shutting down
        self.running = True
        # Shared variables
        self.actual_pressure_pump = 0
        self.actual_pressure_abatement = 0
        self.target_pressure_pump = 0
        self.target_pressure_abatement = 0
        self.flag_pump = 0
        self.flag_abatement = 0
        self.use_cases(0)

        # REST-API
        # TODO: get the REST-API endpoints dynamicaly (stuck here till
        connection with aas-server is established)
        (self.pump_pressure_url, self.abatement_pressure_url) =
self.get_rest_api_endpoints()

        # Build GUI
        self.setup_gui()

        # Simulation and REST in seperate threads
        self.sim_thread = threading.Thread(target=self.run_simulation,
```

## C Drucksimulator Python Script

---

```
daemon=True)
    self.sim_thread.start()
        self.rest_thread = threading.Thread(target=self.rest_update,
daemon=True)
    self.rest_thread.start()

    # Register a Process for SimPy
    self.pump_proc = env.process(self.pump(env))

    # Schedule GUI Update
    self.root.after(100, self.update_gui)

    # Set Closing callback
    self.root.protocol("WM_DELETE_WINDOW", self.on_close)

# ==> Everything from Simulation <==
# Pump thread is for updating Values from the AAS
def pump(self,env):
    factor = 0.01
    while self.running:
        self.actual_pressure_pump += (self.target_pressure_pump -
self.actual_pressure_pump) * factor
        self.actual_pressure_abatement += (self.target_pressure_abatement -
self.actual_pressure_abatement) * factor

        self.actual_pressure_pump = round(self.actual_pressure_pump, 3)
        self.actual_pressure_abatement =
round(self.actual_pressure_abatement, 3)

    # Näherungs-Toleranz definieren
    epsilon = 0.1

    # Wenn nahe genug: exakt setzen
    if abs(self.actual_pressure_pump - self.target_pressure_pump) < epsilon:
        self.actual_pressure_pump = self.target_pressure_pump

        if abs(self.actual_pressure_abatement -
self.target_pressure_abatement) < epsilon:
```

```
        self.actual_pressure_abatement = self.target_pressure_abatement

        yield env.timeout(2)

def run_simulation(self):
    try:
        while self.running:
            self.env.run(until=self.env.now + 10) # Run in increments
            time.sleep(0.1)
    except Exception as e:
        print(f"Simulation error: {e}")
    finally:
        print("Simulation stopped")

def get_use_case_label(self, index):
    return button_labels[index] if index < len(button_labels) else
"Unbekannt"

def use_cases(self, val):
    (self.target_pressure_pump, self.target_pressure_abatement) =
use_case_values.get(val, (0, 0)) # Standardwerte für unbekannte Fälle

# ==> Everything for GUI <==
def setup_gui(self):
    main_frame = ttk.Frame(self.root)
    main_frame.pack(fill="both", expand=True)

    # left Side (Pumpe)
    self.left_frame = ttk.Frame(main_frame, padding="10")
    top_frame_pump = ttk.Frame(self.left_frame)
    # Picture Pumpe
    im = Image.open("images/pump.jpg")
    im = im.resize((100, 100), Image.NEAREST)
    tk_image = ImageTk.PhotoImage(im)
    self.pump_image = tk_image
    self.label_image_pump = tk.Label(top_frame_pump,
image=self.pump_image)
    self.label_image_pump.pack(side="left", padx=5)
    # Stats Pump
```

## C Drucksimulator Python Script

---

```
    self.label_stats_pump = tk.Text(top_frame_pump, width=30, height=10,
wrap="word")
        self.label_stats_pump.insert("1.0", "Pumpen-Status\n\nDruck: 0
mBar\nTemperatur: 25°C\nLeistung: 75%")
        self.label_stats_pump.pack(side="left", padx=5)
    top_frame_pump.pack(pady=5)
    # Pressure Pump
    self.label_pressure_pump = tk.Label(self.left_frame, text="0 mBar",
font=("Arial", 10, "bold"), anchor="center")
        self.label_pressure_pump.pack(pady=5)
    self.left_frame.pack(side="left", fill="both", expand=True)

    # Separator
    separator = ttk.Separator(main_frame, orient="vertical")
    separator.pack(side="left", fill="y", padx=5)

    # Right side (Abatement)
    self.right_frame = ttk.Frame(main_frame, padding="10")
    top_frame_abatement = ttk.Frame(self.right_frame)
    # Picture Abatement
    im = Image.open("images/abatement.png")
    im = im.resize((100, 100), Image.NEAREST)
    tk_image = ImageTk.PhotoImage(im)
    self.image_abatement = tk_image
        self.label_image_abatement = tk.Label(top_frame_abatement,
image=self.image_abatement)
        self.label_image_abatement.pack(side="left", padx=5)
    # Stats
    self.label_stats_abatement = tk.Text(top_frame_abatement, width=30,
height=10, wrap="word")
        self.label_stats_abatement.insert("1.0", "Abatement-Status\n\nDruck:
0 bar\nDurchfluss: 120 l/min\nEffizienz: 92%")
        self.label_stats_abatement.pack(side="left", padx=5)
    top_frame_abatement.pack(pady=5)
    # Pressure Abatement
    self.label_pressure_abatement = tk.Label(self.right_frame, text="0
mBar", font=("Arial", 10, "bold"), anchor="center")
        self.label_pressure_abatement.pack(pady=5)
    self.right_frame.pack(side="left", fill="both", expand=True)
```

```

# Time Display
    self.time_frame = ttk.Frame(self.root)
    self.time_frame.pack(fill="x", pady=10)
    self.label_time = ttk.Label(self.time_frame, text="Zeit: 00:00:00",
font=("Arial", 12))
    self.label_time.pack()

# Buttons to Trigger Use-Cases
    title_frame = ttk.Frame(self.root)
    title_frame.pack(pady=10)
        ttk.Label(title_frame, text="Use-Cases", font=('Arial', 16,
'bold')).pack() # Überschrift
    self.button_frame = ttk.Frame(self.root)
    self.button_frame.pack(pady=20)
    self.create_buttons_with_grid(self.button_frame)

# Manuel Pressure Adjustment (PopUp)
    popup_btn = ttk.Button(root, text=f"Druckwerte Manuell anpassen",
command=self.open_popup)
    popup_btn.pack(pady=10)

# Button to Stop Simulation
    stop_button = tk.Button(root, text=f"Stop Simulation",
command=self.on_close, fg='white', bg='red')
    stop_button.pack(pady=10)

def create_buttons_with_grid(self, parent_frame):
    # Tabelle für Use-Cases mit Toleranz-Bezeichnungen
        ttk.Label(parent_frame, text="Abatement / Pumpe",
relief="ridge").grid(row=0, column=0, padx=2, pady=2, sticky="nsew")
        for col_idx, header_text in enumerate(header_labels):
            ttk.Label(parent_frame, text=header_text, font=('Arial', 9,
'bold'), relief="ridge") \
                .grid(row=0, column=col_idx + 1, padx=2, pady=2, sticky="nsew")
            for row_idx, side_text in enumerate(header_labels):
                ttk.Label(parent_frame, text=side_text, font=('Arial', 9,
'bold'), relief="ridge") \
                    .grid(row=row_idx + 1, column=0, padx=2, pady=2, sticky="nsew")
        max_internal_columns = 4

```

```

row_offset = 1
column_offset = 1
    # Buttons mit entsprechenden Labels für Use-Cases (in Tabelle
einragen)
    for i in range(0, len(button_labels)):
        button_relative_row = i // max_internal_columns
        button_relative_column = i % max_internal_columns
        grid_row = button_relative_row + row_offset
        grid_column = button_relative_column + column_offset
        btn = ttk.Button(parent_frame, text=self.get_use_case_label(i),
command=lambda i=i: self.use_cases(i))
            btn.grid(row=grid_row, column=grid_column, padx=2, pady=2,
sticky="nsew")

def open_popup(self):
    def popup_on_close():
        try:
            val1 = int(entry1.get())
            val2 = int(entry2.get())
            if 0 <= val1 <= 300 and 0 <= val2 <= 300:
                # print(f"\nEingegebene Werte: {val1}, {val2}\n")
                self.target_pressure_pump = val1
                self.target_pressure_abatement = val2
            else:
                print("Druckwerte out of bound!")
        except ValueError:
            print("Bitte gültige Zahlen eingeben.")
        popup.destroy()
    popup = tk.Toplevel(self.root)
    popup.title("Gewünschte Druckwerte eingeben")
    popup.geometry("300x200")
    tk.Label(popup, text="Druck Pumpe: [mBar]").pack(pady=5)
    entry1 = tk.Entry(popup)
    entry1.pack(pady=5)
    tk.Label(popup, text="Druck Abatement: [mBar]").pack(pady=5)
    entry2 = tk.Entry(popup)
    entry2.pack(pady=5)
    close_btn = ttk.Button(popup, text=f"Übernehmen & Schließen",
command=popup_on_close)
    close_btn.pack(pady=10)

```

## C Drucksimulator Python Script

---

```
# Updating Textboxes and values to Display
def update_gui(self):
    if not self.running:
        self.root.quit()
        return
    # Update GUI elements with the current state of the simulation
    self.label_pressure_pump.config(text =
f"{self.actual_pressure_pump:.1f} mBar")
    self.label_pressure_abatement.config(text =
f"{self.actual_pressure_abatement:.1f} mBar")
    self.label_time.config(text=f"Zeit: {datetime.now().strftime('%H:%M:%S')}")
    self.root.after(200, self.update_gui) # Schedule next GUI update

def on_close(self):
    self.running = False
    self.root.quit()

# ==> Everything for REST-API <==
def get_rest_api_endpoints(self):
    pump_pressure_url     = "http://localhost:8081/submodels/aHR0cHM6Ly9leGFtcGxlLmNvbS9pZHMvc20vMzI1NF81MTYyXzUwNTJfMTk5NQ==/submodel-elements/SetPressure/$value"
    abatement_pressure_url = "http://localhost:8081/submodels/aHR0cHM6Ly9leGFtcGxlLmNvbS9pZHMvc20vNjE2NF81MTYyXzUwNTJfNDE3Nw==/submodel-elements/SetPressure/$value"
    return (pump_pressure_url, abatement_pressure_url)

def rest_update(self):
    headers = {"accept": "application/json", "Content-Type": "application/json"}
    while self.running:
        try:
            # Pump Pressure
            pump_response = requests.patch(self.pump_pressure_url,
headers=headers, data=f'{self.actual_pressure_pump}')

```

## C Drucksimulator Python Script

---

```
        if pump_response.status_code == 204:
            print(f"Pump pressure set to {self.actual_pressure_pump} mBar")
        else:
            print(f"Failed to set pump pressure: {pump_response.status_code} - {pump_response.text}")

        # Abatement Pressure
        abatement_response = requests.patch(self.abatement_pressure_url, headers=headers,
                                             data=f'{self.actual_pressure_abatement}')
        if abatement_response.status_code == 204:
            print(f"Abatement pressure set to {self.actual_pressure_abatement} mBar")
        else:
            print(f"Failed to set abatement pressure: {abatement_response.status_code} - {abatement_response.text}")

    except requests.exceptions.RequestException as e:
        print(f"REST API error: {e}")

    time.sleep(1)

# ==> Setup Environment <==
root = tk.Tk() # Tkinter
env = simpy.Environment() # SimPy
app = SimulationApp(root, env) # Simulation App

root.mainloop()
try:
    root.mainloop()
finally:
    app.running = False

print("Finished?")
```

---

## D REST Antwort

```
{  
    "paging_metadata": {},  
    "result": [  
        {  
            "modelType": "AssetAdministrationShell",  
            "assetInformation": {  
                "assetKind": "NotApplicable"  
            },  
            "submodels": [  
                {  
                    "keys": [  
                        {  
                            "type": "Submodel",  
                            "value": "https://admin-shell.io/idta/SubmodelTemplate/  
DigitalNameplate/3/0"  
                        }  
                    ],  
                    "type": "ModelReference"  
                },  
                {  
                    "keys": [  
                        {  
                            "type": "Submodel",  
                            "value": "https://admin-shell.io/idta/SubmodelTemplate/  
TechnicalData/2/0"  
                        }  
                    ],  
                    "type": "ModelReference"  
                },  
                {  
                    "keys": [  
                        {  
                            "type": "Submodel",  
                            "value": "https://example.com/ids/sm/6164_5162_5052_4177"  
                        }  
                    ],  
                    "type": "ModelReference"  
                }  
            ]  
        }  
    ]  
}
```

## D REST Antwort

---

```
],
  "id": "https://example.com/ids/aas/6014_5162_5052_5233",
  "idShort": "AbatementSystem"
},
{
  "modelType": "AssetAdministrationShell",
  "assetInformation": {
    "assetKind": "NotApplicable",
    "globalAssetId": "https://example.com/asset/0001_5162_5052_1708"
  },
  "submodels": [
    {
      "keys": [
        {
          "type": "Submodel",
          "value": "https://admin-shell.io/idta/SubmodelTemplate/
DigitalNameplate/3/0"
        }
      ],
      "type": "ModelReference"
    }
  ],
  "id": "https://example.com/ids/aas/6460_5162_5052_9098",
  "idShort": "SemiconductorX"
},
{
  "modelType": "AssetAdministrationShell",
  "assetInformation": {
    "assetKind": "NotApplicable"
  },
  "submodels": [
    {
      "keys": [
        {
          "type": "Submodel",
          "value": "https://admin-shell.io/idta/SubmodelTemplate/
DigitalNameplate/3/0"
        }
      ],
      "type": "ModelReference"
    }
  ]
}
```

## D REST Antwort

---

```
        },
        {
            "keys": [
                {
                    "type": "Submodel",
                    "value": "https://admin-shell.io/idta/SubmodelTemplate/
TechnicalData/2/0"
                }
            ],
            "type": "ModelReference"
        },
        {
            "keys": [
                {
                    "type": "Submodel",
                    "value": "https://example.com/ids/sm/3254_5162_5052_1995"
                }
            ],
            "type": "ModelReference"
        }
    ],
    "id": "https://example.com/ids/aas/7280_5162_5052_8673",
    "idShort": "IndustrialExhausPump"
}
]
```